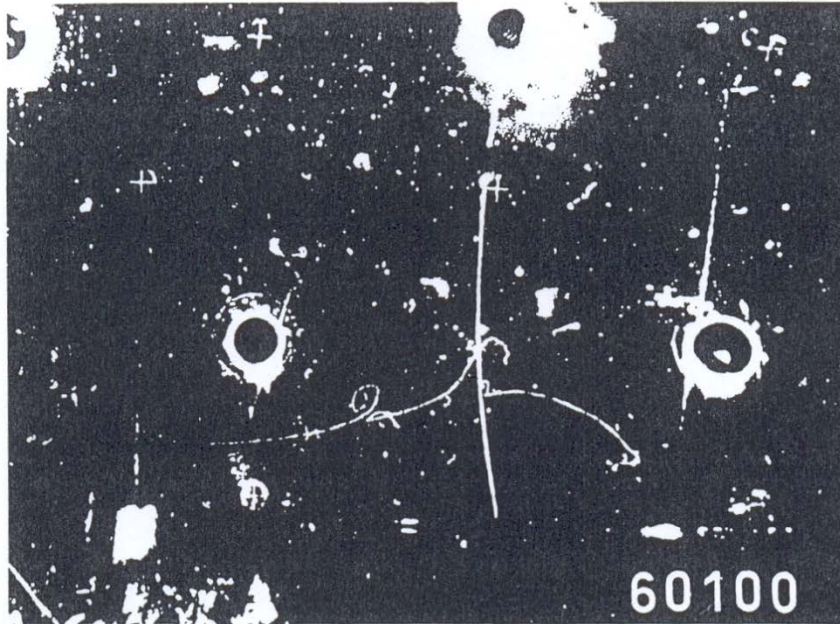


# Abb. XIII.1 Entdeckung des "schwachen neutralen Stromes"



a)

Neutraler Strom  
= "schwaches Licht"

b)



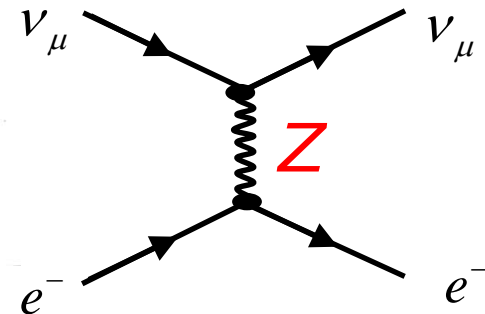
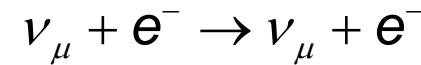
Die neutralen  $\nu N$  Ereignisse finden mit erheblicher Rate statt:

$$R_\nu = \frac{\sigma_{NC}(\nu N \rightarrow \nu X)}{\sigma_{CC}(\nu N \rightarrow \mu X)} = 0.307 \pm 0.008$$

d.h. etwa 1/3 der  $\nu N$  Wechselwirkungen geschieht aufgrund des Z-Austauschs

Abb. 9. Dieses erste Ereignis mit einem neutralen schwachen Strom wurde in Aachen entdeckt. Ein Neutrino dringt von links in die Blaskammer ein (auf dem Bild nicht sichtbar) und wird elastisch an einem Elektron gestreut. Das Elektron ist als rechte Spurkaskade (Bremsstrahlung) zu erkennen. Dieses Bild ist in die Geschichte des CERN eingegangen

One out of three  $\nu e \rightarrow \nu e$  events



# Abb. VIII.2 Entdeckung der W- und Z-Bosonen

$$p\bar{p} \rightarrow Z \rightarrow f\bar{f} + X$$

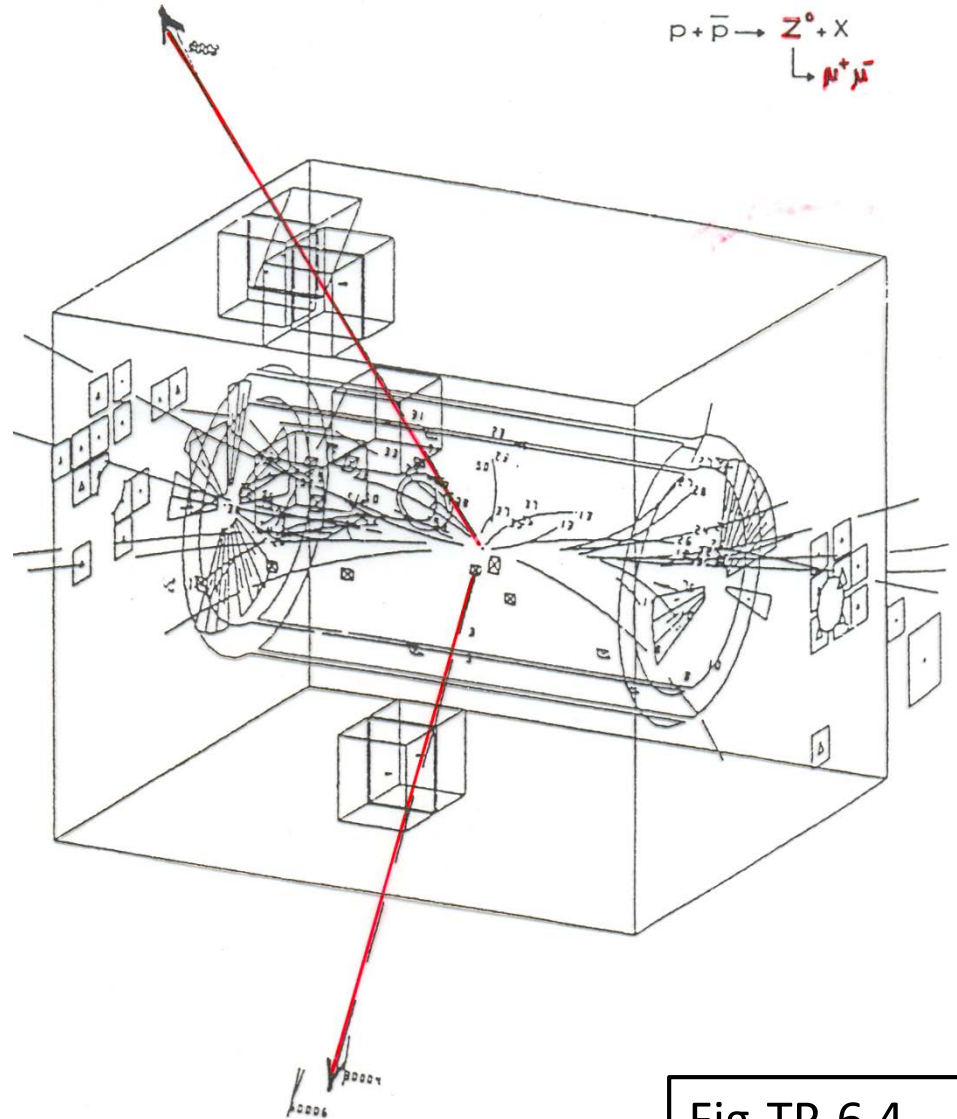
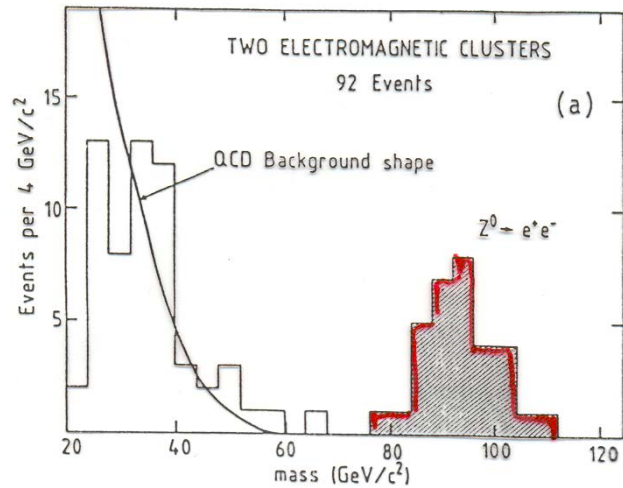
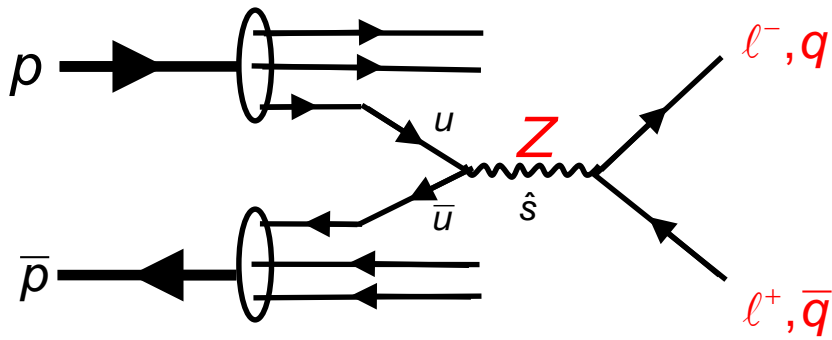
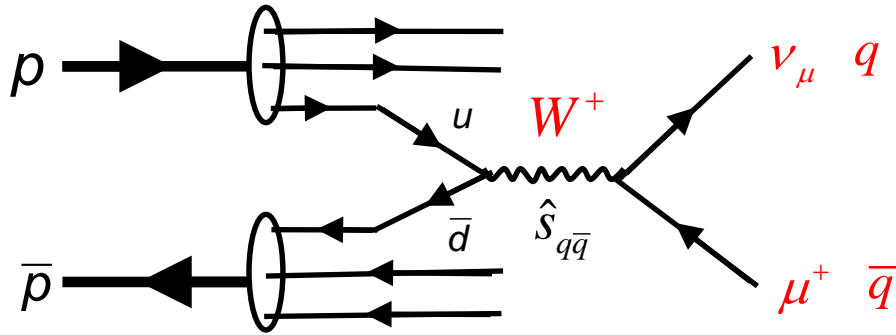


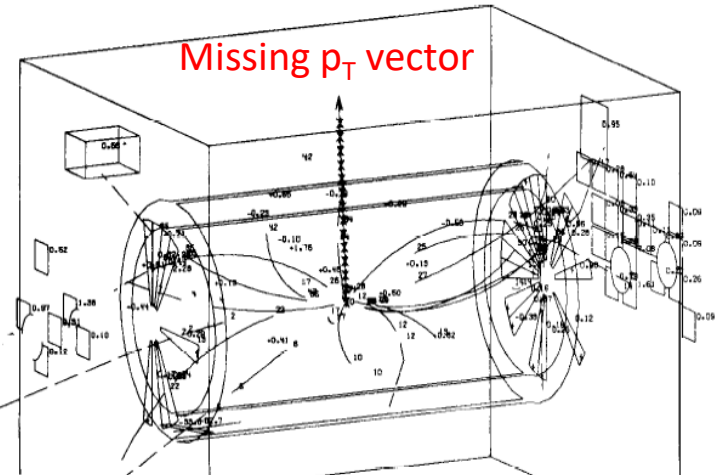
Fig-TP-6.4

# Abb. VIII.3 Entdeckung der W- und Z-Bosonen

$$p\bar{p} \rightarrow W \rightarrow \ell \bar{\nu}_\ell + X$$

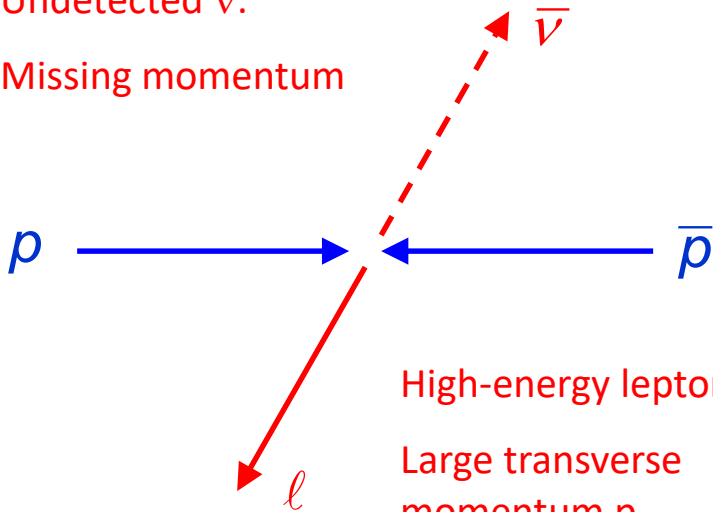


$$W^- \rightarrow e \bar{\nu}$$



Undetected  $\nu$ :

Missing momentum



High-energy lepton:

Large transverse momentum  $p_t$

$p_T > 1 \text{ GeV}/c$

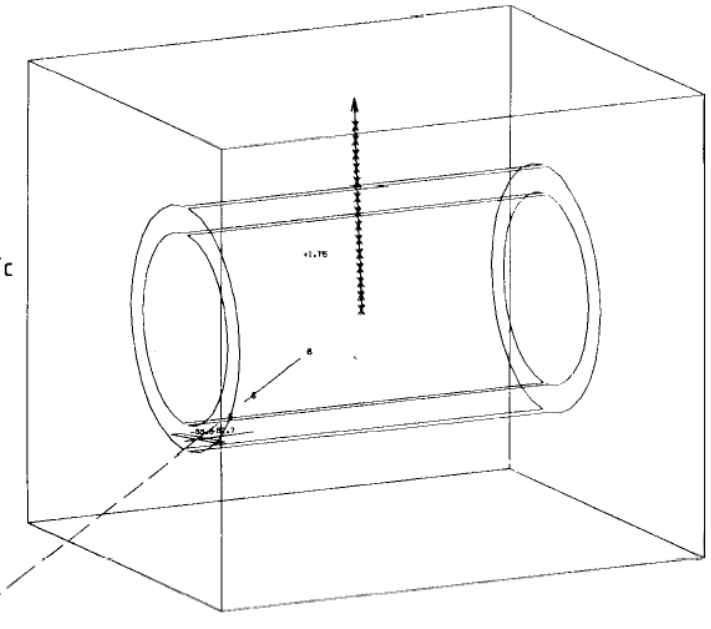


Fig. 16b. The same as picture (a), except that now only particles with  $p_T > 1 \text{ GeV}/c$  and calorimeters with  $E_T > 1 \text{ GeV}$  are shown.

# Abb. VIII.4 CKM-Matrix

Betrag der Matrixelemente:

$$V_{\text{CKM}} = \begin{pmatrix} 0.97434^{+0.00011}_{-0.00012} & 0.22506 \pm 0.00050 & 0.00357 \pm 0.00015 \\ 0.22492 \pm 0.00050 & 0.97351 \pm 0.00013 & 0.0411 \pm 0.0013 \\ 0.00875^{+0.00032}_{-0.00033} & 0.0403 \pm 0.0013 & 0.99915 \pm 0.00005 \end{pmatrix}$$

# Abb. VIII.5 Beta-Spektrum

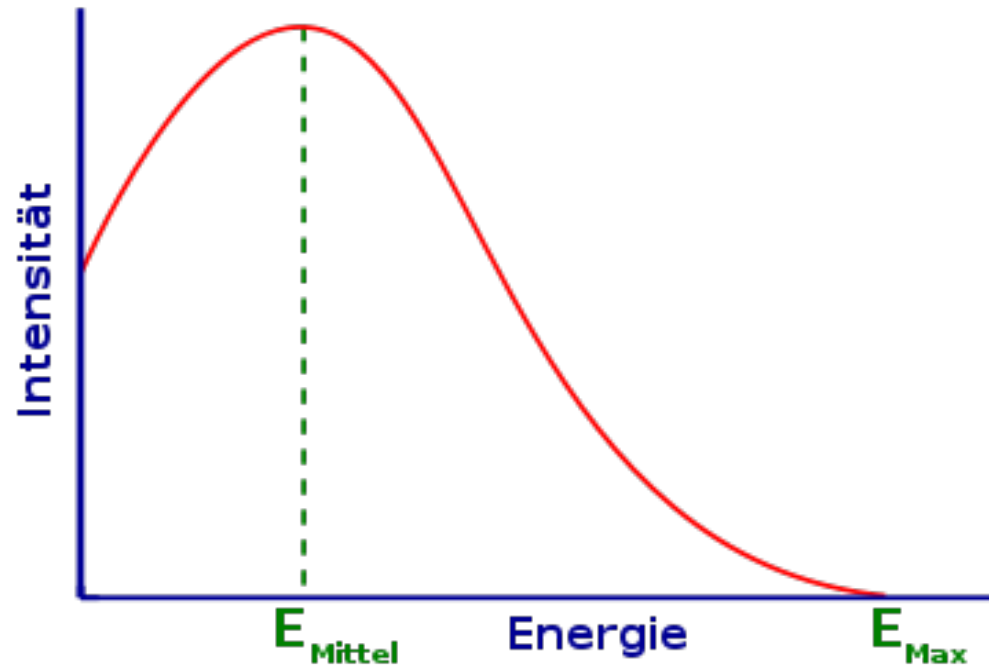


Abb. VIII.6 Kurie-Plot und Neutrino-Masse

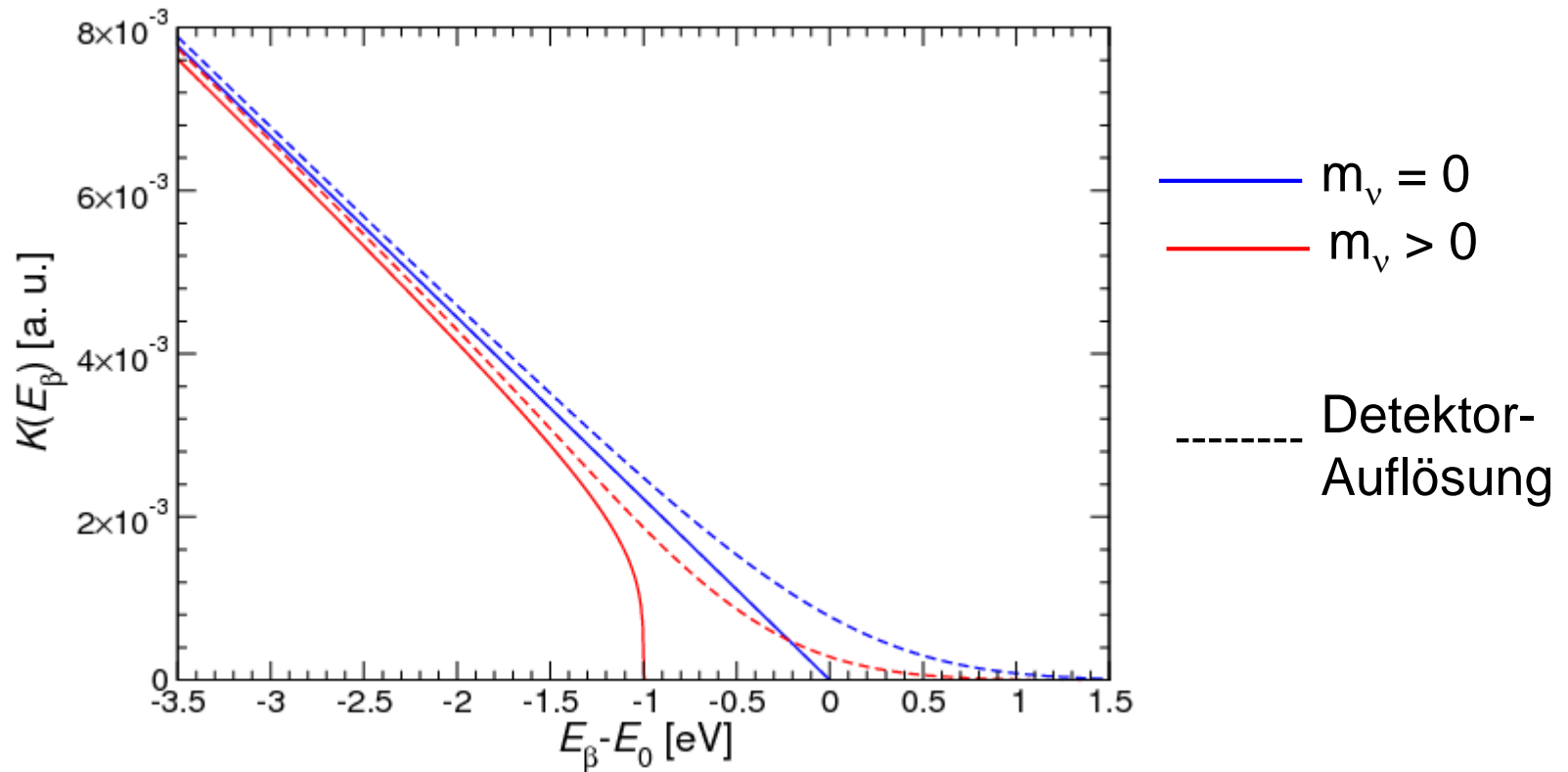
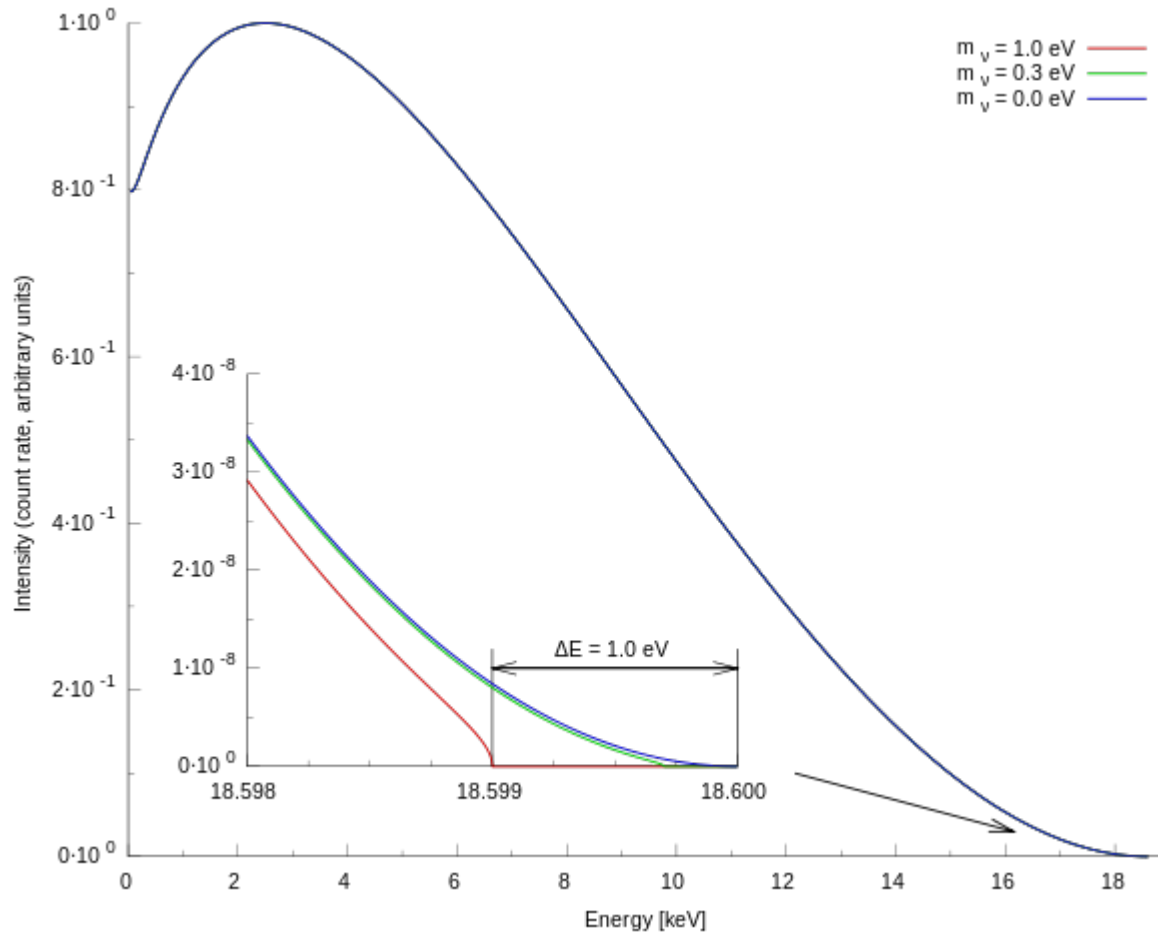
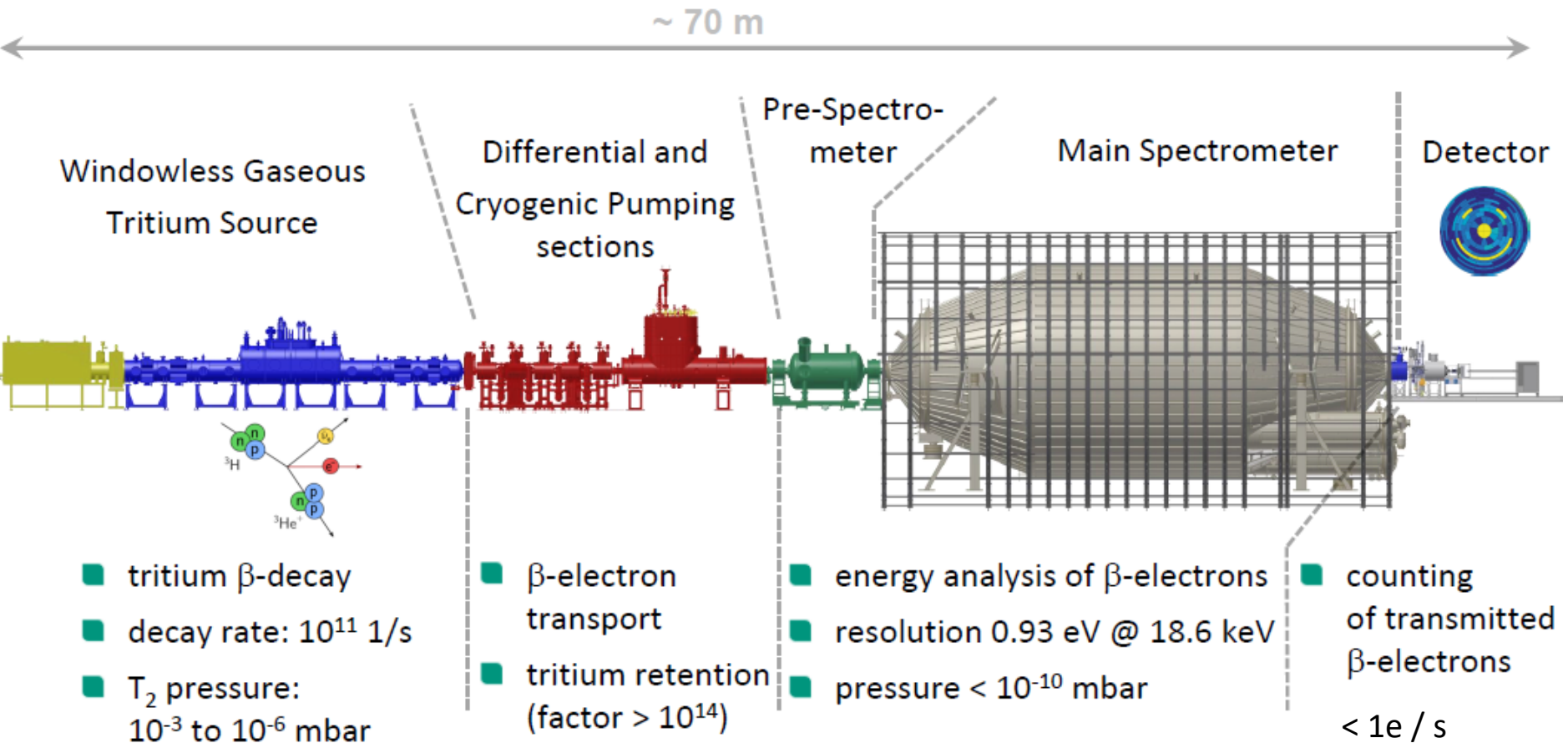


Abb. VIII.6a  $\beta$ -Spektrum und Neutrino-Masse (Tritium-Zerfall)



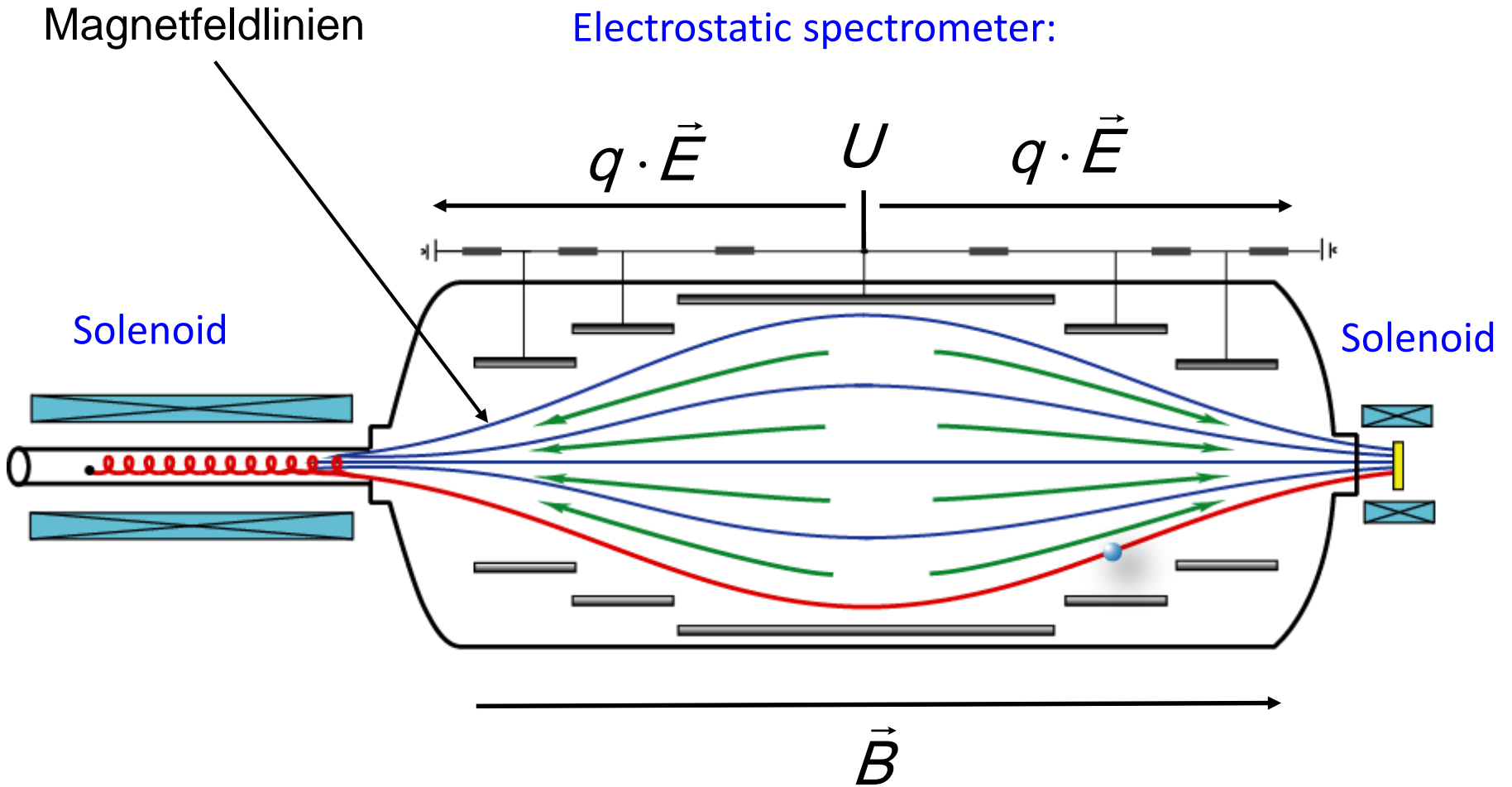
# Abb. VIII.7 KATRIN = Karlsruhe Tritium Neutrino Exp.

Goal: measure neutrino mass w/ sensitivity of 0.2 eV (90%CL)



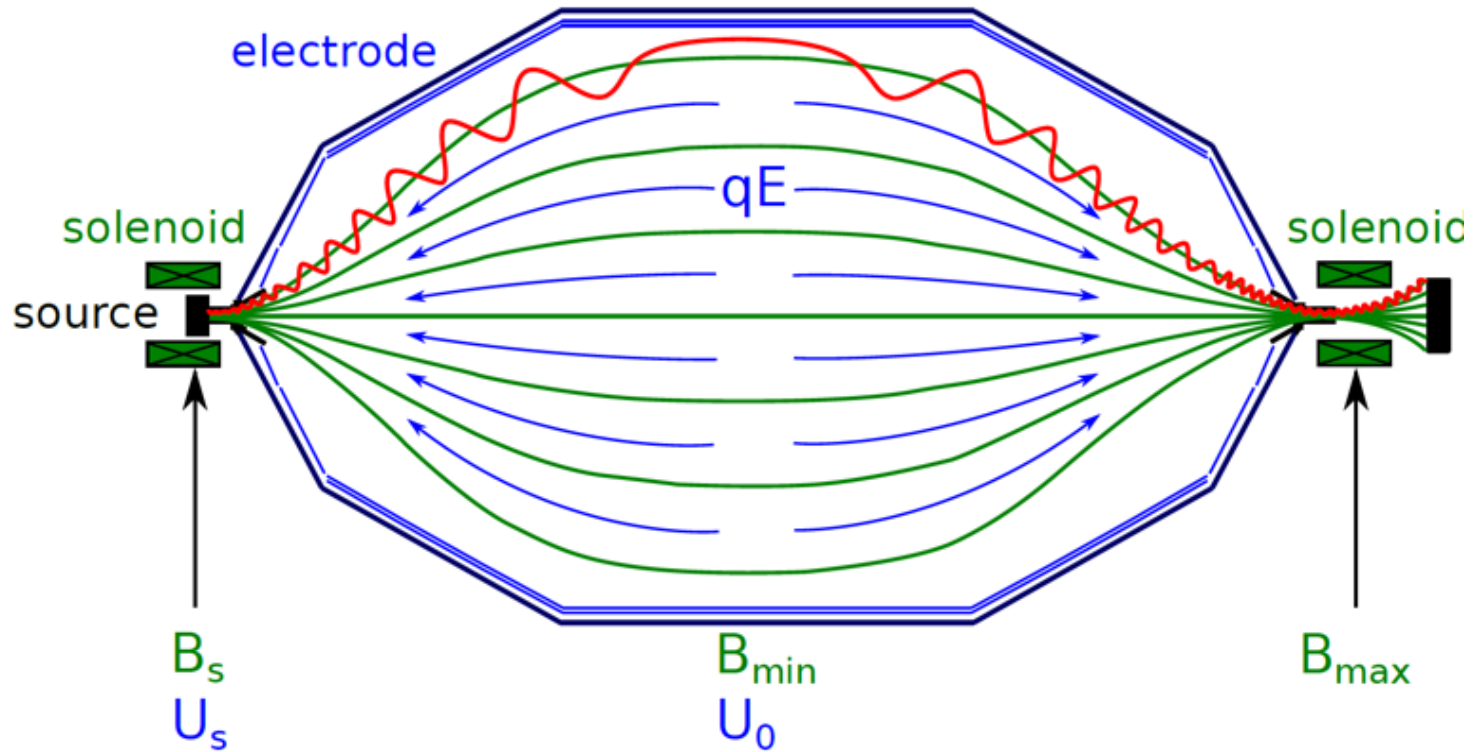
Datennahme hat begonnen!

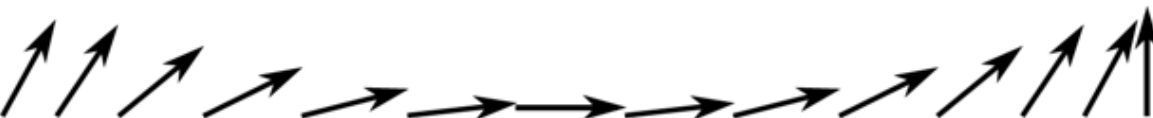
# Abb. VIII.7a MAC-E Filter - Prinzip



No electron flux for:  $E_{kin} = e \cdot U_{max}$

# Abb. VIII.7b MAC-E Filter – Prinzip II



Impulsvektor 

Adiabatic variation of B-field leads to alignment of momentum vector.

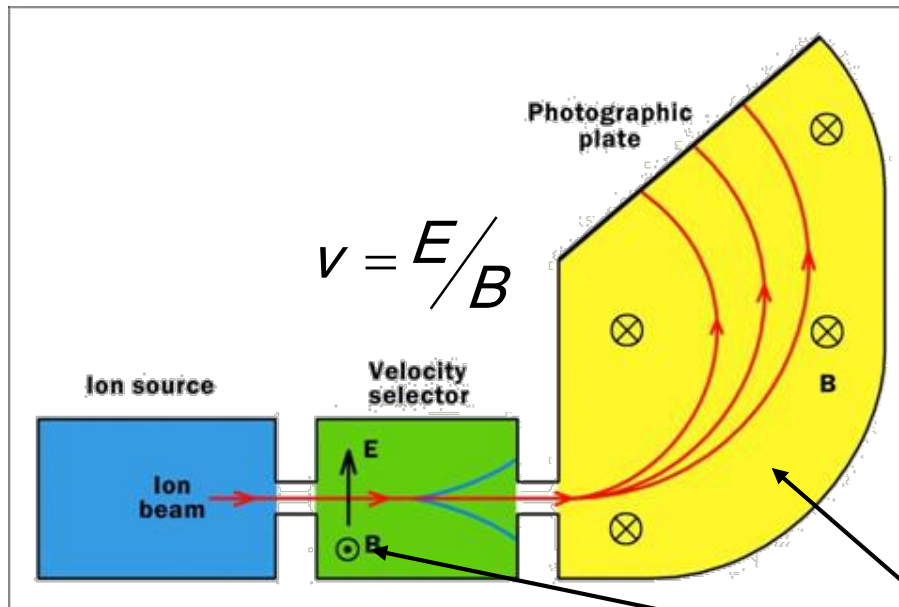
Looks good on paper, but ...

Abb. VIII.7c



# Abb. IX.1 Massen-Spektrometer: Prinzip

Gekreuztes E und B-Feld:  
Geschwindigkeitsselektion

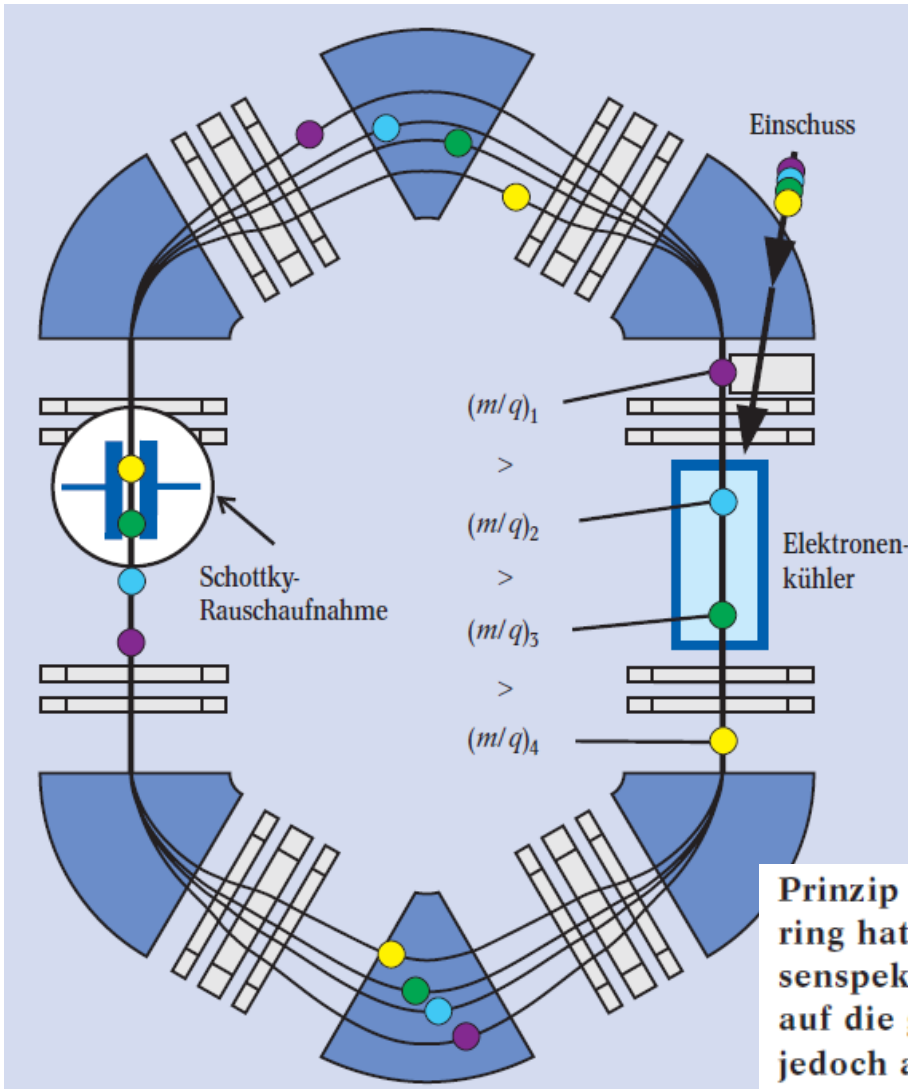


$$p = mv = qRB$$

$$m = qR \frac{B}{v} = qR \frac{B^2}{E}$$

Gleiches B-Feld

# Abb. IX.2 Massen-Spektrometrie im Speicherring



$$f_c = \frac{1}{2\pi} \cdot \frac{qB}{m} \quad \text{Umlauffrequenz abhängig von Masse}$$

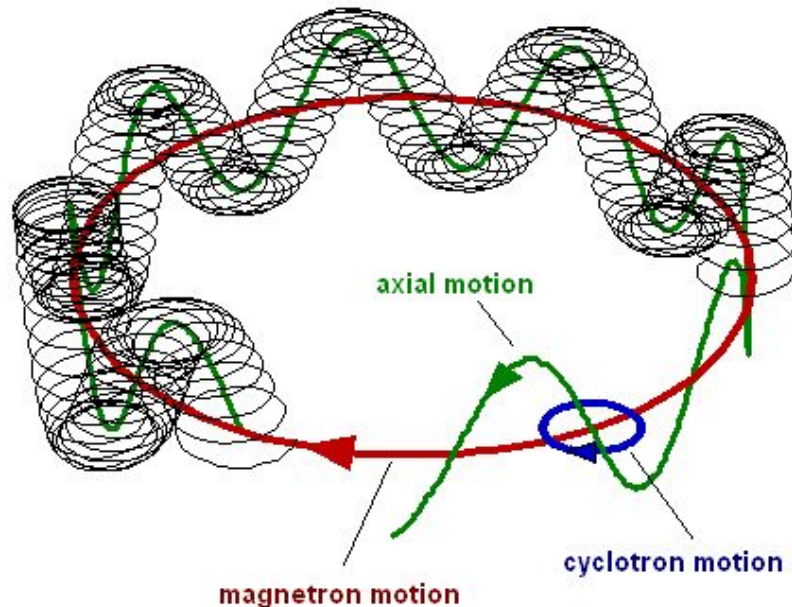
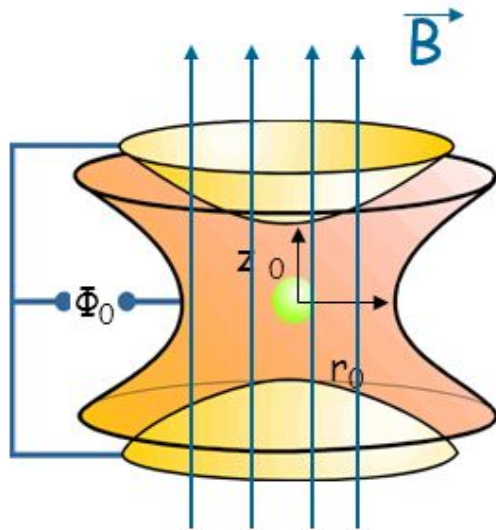
$$\frac{\Delta f}{f} = \frac{1}{\gamma_t^2} \frac{\Delta(m/q)}{m/q} + \frac{\Delta v}{v} \left( 1 - \frac{\gamma^2}{\gamma_t^2} \right)$$

↑ Ionenoptischer Parameter des Speicherrings

$$\frac{\Delta v}{v} \rightarrow 0$$

**Prinzip der Schottky-Speicherring-Messmethode.** Der Speicherring hat einen Umfang von etwa 110 m. Bei der Schottky-Massenspektrometrie werden alle Ionen mittels Elektronenkühlung auf die gleiche Geschwindigkeit gebracht, sie bewegen sich jedoch aufgrund ihres unterschiedlichen Masse-Ladungs-Verhältnisses ( $m/q$ ) auf verschieden langen Flugbahnen.

# Abb. IX.3 Massen-Spektrometrie mit Penning-Fallen



## Axial motion:

oscillation in E-field

$$\omega_z = \sqrt{\frac{qV_0}{md^2}}$$

## Magnetron motion:

$E \times B$  drift

$$\omega_- = \frac{\omega_c}{2} - \sqrt{\frac{\omega_c^2}{4} - \frac{\omega_z^2}{2}}$$

## Reduced cyclotron motion:

$$\omega_+ = \frac{\omega_c}{2} + \sqrt{\frac{\omega_c^2}{4} - \frac{\omega_z^2}{2}}$$

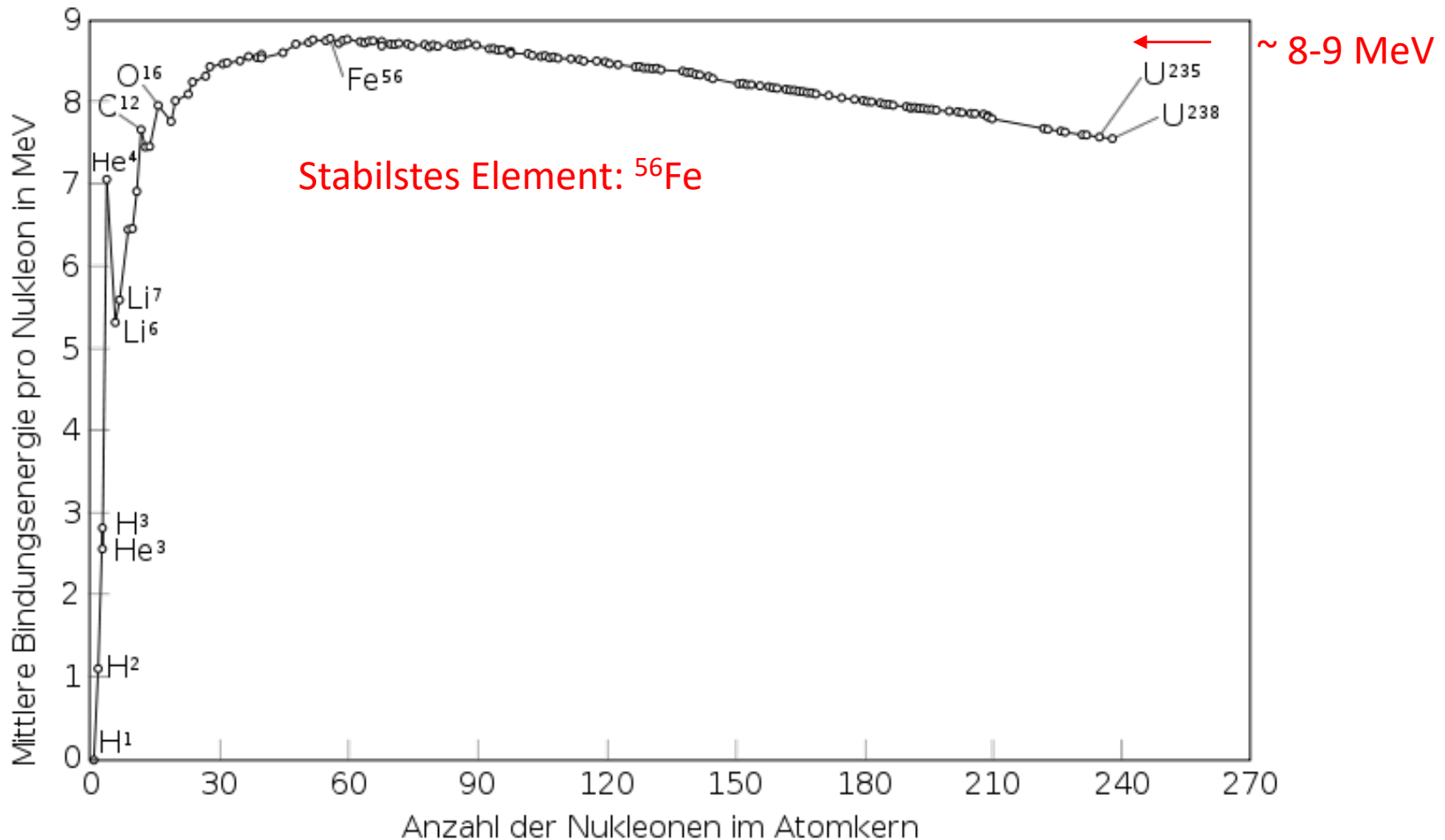
Relevant for mass measurements:

$$\omega_c = \omega_+ + \omega_- = \frac{q}{m} B$$

# Abb. IX.4 Bindungsenergie

$$B / A = (Zm_p + Nm_n - m(A, Z)) / A \quad m(A, Z) = \text{Kernmasse}$$

(Falls man  $m(A, Z)$  die Atommasse ist muss auch noch  $m_e$  und  $E_e$  berücksichtigt werden)



# Abb IX.5 Bethe-Weizsäcker-Formel

$$B = a_V A - a_O A^{2/3} - a_C \frac{Z^2}{A^{1/3}} - a_{Asym} \frac{(N - Z)^2}{A} + \frac{\delta}{A^{1/2}}$$

$$a_V \approx 15.67 \text{ MeV}$$

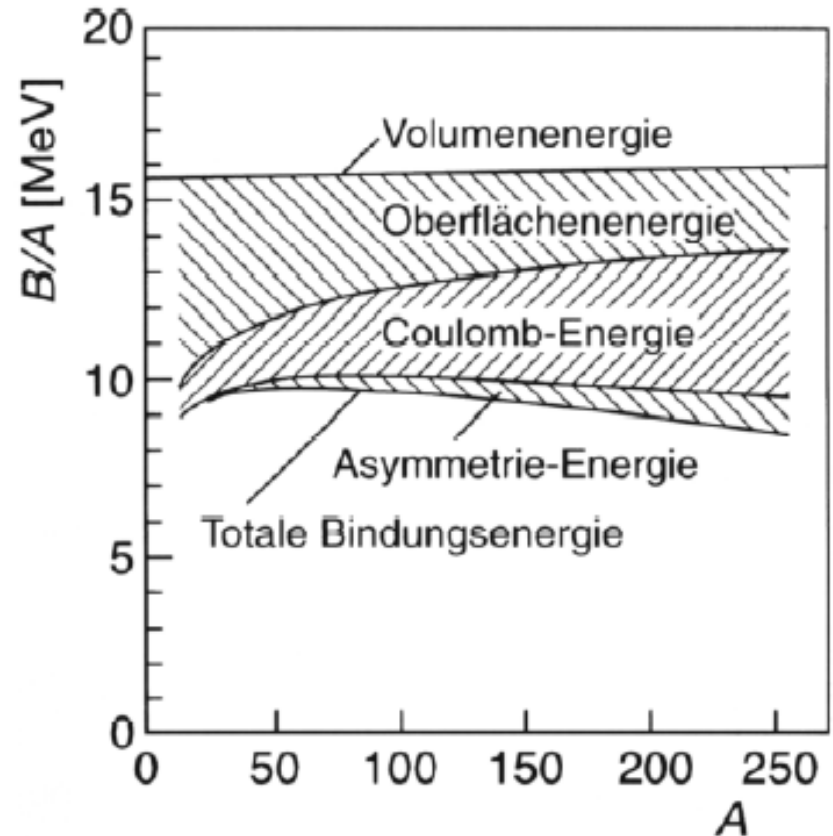
$$a_O \approx 17.23 \text{ MeV}$$

$$a_C \approx 0.71 \text{ MeV}$$

$$a_{Asym} \approx 23.3 \text{ MeV}$$

s.a. Povh

$$\delta = \begin{cases} +11.2 \text{ MeV} & \text{gg - Kerne} \\ 0 \text{ MeV} & \text{ug - Kerne} \\ -11.2 \text{ MeV} & \text{uu - Kerne} \end{cases}$$



Erlaubt die Berechnung des Q-Wertes von radioaktiven Zerfällen / Spaltungs- und Fusions-Prozessen